

## آنالیز تنش بربج سه واحدی تمام سرامیک جهت بررسی تأثیر زوایای تقارب دندانهای پایه به کمک روش اجزای محدود

مهندس محمد جعفر بی‌ریا<sup>\*</sup> - دکتر فرزام فرهمند<sup>\*\*</sup> - دکتر غلامرضا اسلامی امیرآبادی<sup>\*\*\*</sup>

\* - کارشناس ارشد مهندسی بیومکانیک دانشکده مکانیک دانشگاه صنعتی شریف.

\*\* - دانشیار گروه آموزشی مکانیک دانشگاه صنعتی شریف.

\*\*\* - استادیار گروه آموزشی ارتودننسی دانشکده دندانپزشکی دانشگاه شاهد.

### چکیده

زمینه و هدف: شکست مکانیکی یکی از عوامل مهم عدم موفقیت بربج‌های دندانی بخصوص در انواع تمام سرامیک آنها به شمار می‌رود. هدف از انجام این مطالعه، ارزیابی تأثیر زوایای تقارب اکلوزال دندانهای پایه بر توزیع وحدات مقادیر تنشهای لصلی مکانیکی در پروتز و سطح تماس آن با دندانهای پایه در یک بربج سه واحدی تمام سرامیک بوده است که به کمک روش عددی اجزای محدود انجام پذیرفت.

روش بررسی: ابر نقاط<sup>۱</sup> مربوط به اطلاعات سه بعدی دندانهای پرمولر دوم تامولر دوم با استفاده از سیستم اسکنر آتوس<sup>۲</sup> فراهم گردید و برای مدل‌سازی سطحی بربج سه واحدی و دندانهای پایه در نرم افزار CATIA مورد استفاده قرار گرفت. اطلاعات بدست آمده به منظور مش بندی و تحلیل مدل‌های اجزای محدود سه بعدی به نرم افزار I-DEAS منتقل گردید و دو مدل FEM بازو ایای تقارب تعریف شده حد بالا و پایین تهیه شد. در مدل‌های اول و دوم به ترتیب از صد و هفتاد و یک هزار و نهصد و صد و شصت و هشت‌هزار و هفت‌صد المان حجمی چهار نود ترا هدرال استفاده گردید. اثر اعمال سه نحوه بارگذاری و استفاده از دو ماده پروتز متفاوت بررسی و نتایج با یکدیگر مقایسه شد.

یافته‌ها: نتایج حصل نشان داد که تنشهای لصلی کششی ماکریم روی سطح جینجیو ال کانکتور ریتینر مولر دوم ایجاد گردید. همچنین حد اکثر این تنشها در سطح تماس ماده پروتز و دندانهای پایه بر روی سطوح مارجینال و در نواحی دیستال دندان پایه مولر دوم اتفاق افتاد. مقادیر حد اکثر تنشهای لصلی کششی در مدل باحد اکثر زوایای تقارب در مقایسه با مدل دارای حد اقل زوایای تقارب اندکی کمتر بدست آمد، که البته این اختلاف چشمگیر نبود. با تغییر ماده پروتز از Dicor به IPS-Empress<sup>2</sup> مقادیر حد اکثر تنشها کاهش یافت.

نتیجه‌گیری: استفاده از بربج ساخته شده از ماده IPS-Empress<sup>2</sup> به دلیل استحکام بالاتر مکانیکی آن از ضریب اطمینان بیشتری برخوردار می‌باشد. همچنین نتایج نشان داد شرایط بارگذاری از نقش مهمی در مقادیر و شدت تنشهای مکانیکی برخوردار می‌باشد.

واژه‌های کلیدی: پروتز - بربج سه واحدی - روش اجزای محدود - زوایای تقارب دندانهای پایه

1. Cloud points.

2. Atos.

## مقدمه

تقارب اکلوزال دندانهای پایه نام برد. تیپر کردن دیواره‌های دندانهای پایه به منظور قرارگیری مناسب بریج ضروری می‌باشد اما افزایش مقادیر تیپر موجب کاهش گیر<sup>۳</sup> شده و در نهایت به شکست بریج در سطح تماس منجر می‌گردد. از آنجایی که تاکنون تأثیر زوایای تقارب بر استحکام شکست بریج‌های سه واحدی تمام سرامیک به طور دقیق مورد مطالعه قرار نگرفته است، در این مطالعه با هدف انجام یک مطالعه دقیقتر، تأثیر پارامترها زوایای تقارب بر استحکام پروتز تحت شرایط مختلف بارگذاری و با استفاده از مواد پرووتز مختلف مورد توجه ویژه قرار گرفته است.

## روش بررسی

در این مطالعه از یک بریج سه واحدی که برای جایگزینی دندان مولر اول مندیبل ساخته شده بود، یک مدل دقیق کامپیوتری تهیه گردید. برای این منظور از مدل‌های پلاستیکی دندانهای پرمولر دوم، مولر اول و مولر دوم که از نظر هندسه و ابعاد بر اساس دستورالعمل ارائه شده در کتاب آناتومی و مورفولوژی ویلر<sup>(۴)</sup> با دقت مناسب و برای مصارف آموزشی ساخته شده بود، استفاده شد. مدل دندانها مطابق موقعیت آنها در قوس دندانی درون یک توده گچی قرار گرفت و سپس دندانها توسط اسکنر آتوس (ساخت شرکت GOM آلمان) با دقت ۱/۰ میلی‌متر دیجیتايز شدند و ابر نقاط تاج دندانها در موقعیت قوس دندان بدست آمد. پس از خارج کردن دندانها از توده گچی بخش‌های باقی مانده از جمله ریشه دندانها دیجیت شد و ابر نقاط بدست آمده به ابر نقاط تاج دندانها با دقت بسیار بالا اضافه گردید. ابر نقاط کلی حاصله در نهایت جهت سطح‌گذاری به نرمافزار CATIA روایت ۵/۱۰

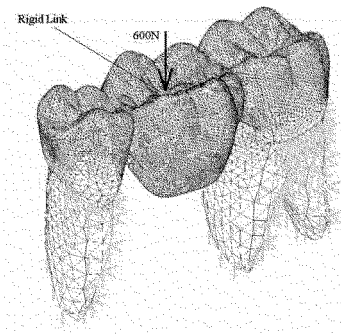
1. Residual thermal stresses.
2. Fracture toughness.
3. Retention.

مدتها می‌ مدیدی است که بریج‌های متال - سرامیک برای جایگزینی دندانهای از دست رفته مورد استفاده قرار گرفته‌اند. با وجود اینکه این نوع از بریج‌ها از استحکام بسیار بالایی برخوردارند، فرآیند ساخت آنها دشوار بوده و به دلیل استفاده از مغزی فلزی تنشهای حرارتی پسماند<sup>۱</sup> در پروتر ایجاد می‌گردد. از سوی دیگر، بریج‌های تمام سرامیک از مشخصات زیبایی منحصر به فردی برخوردار بوده، دارای فرآیند ساخت آسانتر و تهی از تنشهای حرارتی پسماند می‌باشند. از این رو این‌گونه پرووتزها مورد توجه هر چه بیشتر متخصصان این رشته و همچنین بیماران قرار گرفته است. البته نقطه ضعف این‌گونه بریج‌ها در مقایسه با انواع متال - سرامیک، ظرفیت تحمل بار نسبتاً کم به دلیل استحکام نهایی محدود و همچنین چقرمگی شکست<sup>۲</sup> پایین آنها می‌باشد.(۱)، با وجود اینکه امروزه انواع سرامیک‌های دندانی جدید به بازار عرضه شده است که از ظرفیت تحمل بار مناسب و مشخصات زیبایی ویژه‌ای برخوردارند، استفاده از بریج‌های تمام سرامیک برای جایگزینی دندانهای مولر اول از دست رفته، با توجه به مقادیر بزرگ نیروهای بایت وارد بر این دندانها، همچنان به عنوان مشکلی در پیش روی متخصصان رشتۀ پرووتز دندان قرار دارد.

اطلاعات کلینیکی نشان داده است که شکست بریج‌های تمام سرامیک اغلب در ناحیه کانکتورها و به دلیل دارا بودن کمترین سطح مقطع در پروتر رخ می‌دهد. به همین دلیل به منظور تعیین مقادیر بهینه ابعاد کانکتورها، تحقیقات مختلفی انجام شده است.(۳و۲)، هر چند، پارامترهای دیگری نیز وجود دارند که می‌توانند استحکام شکست بریج‌های تمام سرامیک را تحت تأثیر قرار دهند و از جمله مهمترین آنها می‌توان از زوایای

به شعاع ۱/۰ میلی‌متر استفاده شد. پس از تهیه مدل‌های سطح از بریج و دندانهای پایه، اطلاعات بدست آمده به نرم‌افزار I-DEAS روایت ام اس هشت برد شد و برای ساخت مدل‌های حجمی و مدل‌های اجزای محدود مورد

منتقل شد و جهت ساخت بریج سه واحدی بر اساس دستورالعمل‌های آماده‌سازی دندانهای پایه<sup>(۵)</sup> عمل شد. در این آماده‌سازی ارتفاع و عرض کانکتورها به ترتیب چهار و ۵ میلی‌متر در نظر گرفته شدند<sup>(۶)</sup> و از طرح مارجین چمفر



شکل ۱: نمایشی از مش‌بندی و اعمال شرایط مرزی و بارگذاری مدل اجزای محدود ببریج سه واحدی

مطابق جدول ۱ تهیه گردید که به ترتیب شامل صد و هفتاد و یک‌هزار و نهصد و صد و شصت و هشت‌هزار و هفتصد المان می‌شدند.

استفاده قرار گرفت (شکل ۱). جهت مش‌بندی مدل‌ها از المان‌های تترا هدرال چهار نودی با سه درجه آزادی استفاده شد. دو مدل اجزای محدود با زوایای تقارب حد<sup>۲</sup> (FEM 1) و زوایای تقارب حد<sup>۲</sup> پایین (FEM 2) بالا.

جدول ۱: زوایای تقارب دندانهای پایه در مدل‌های مورد مطالعه

نام مدل	دندان پایه پرمولر دوم (درجه)			
باکال - لینگوال	مزيال - ديسنال	باکال - لينگوال	مزيال - ديسنال	باکال - لينگوال
۱۶	۱۲	۲۴	۲۰	۲۰
۸	۴	۱۰	۶	۶

پروتز و سرامیک Dicor به عنوان ماده جایگزین ماده اصلی و جهت مقایسه با آن در نظر گرفته شد. مواد پروتز و دندان هموژن، استاتیک خطی و آیزوتروپیک فرض شدند و مقادیر خواص این مواد مطابق جدول ۲ مورد استفاده قرار گرفت.<sup>(۸)</sup> در مدل‌های اجزای محدود فوق همچنین فرض شد که بین ماده پروتز و دندان اتصال کامل برقرار است<sup>(۹)</sup> و تغییر مکان کلیه گره‌ها در تمام جهات و در زیر خط طوق دندانهای پایه ثابت فرض شدند. (شکل ۱)

در مدل‌های اجزای محدود تهیه شده در این مطالعه فرض شد که مینای دندان به طور کامل برداشته شده و توسط ماده سرامیک جایگزین گردیده است. همچنین از اثر پالپ، لیگامان‌های پریودنتال و لایه سمان در سطح تماس پروتز و دندان صرف نظر شد. فرضیات فوق فرضیات منطقی است که در مطالعات قبلی نیز مورد استفاده قرار گرفته است.<sup>(۱) و (۷)</sup> ماده سرامیکی IPS-Empress2 به عنوان ماده اصلی

جدول ۲: خواص مکانیکی مواد مورد مطالعه

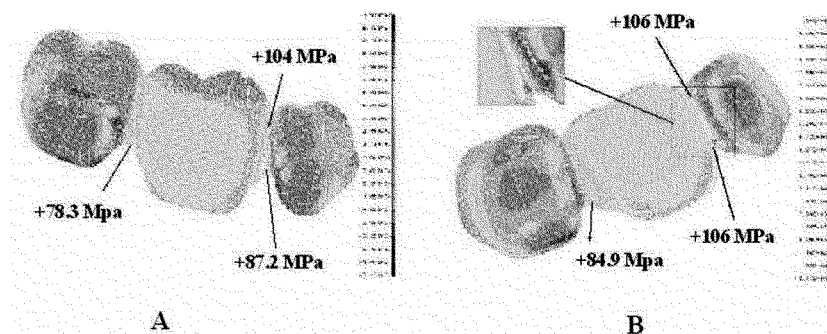
ضریب پوپوسون	مدول الاستیسیته (GPa)	ماده
۰/۱۳	۱۸/۰	عاج دندان
۰/۲۲	۶۹/۰	IPS-Empress2
۰/۲۵	۷۰/۰	Dicor

در صفحه ساجیتال و بر مرکز سطح اکلوزال پونتیک وارد گردید.

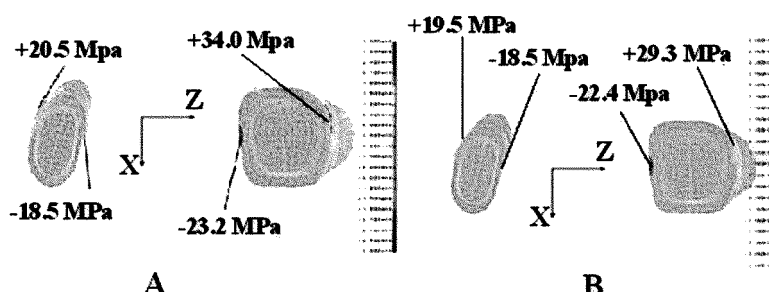
پس از انجام تحلیلهای مربوطه، کانتورهای تنشهای اصلی در پروتز و کمپلکس رستوریشن / دندانهای پایه و همچنین کانتورهای تنشهای برشی در سطح تماس و در صفحه مماسی استخراج گردید و جهت بررسی و مقایسه مورد استفاده قرار گرفت.

از نظر شرایط بارگذاری، سه وضعیت اعمال بار مطابق ذیر در نظر گرفته شد:

۱. بارگستردۀ ۱۰ مگاپاسکال که در راستای عمودی بر روی سطح اکلوزال پونتی توزیع گردید.
۲. بار متمرکز ششصد نیوتون که به طور عمودی و بر مرکز سطح اکلوزال پونتی، به عنوان عمومیترین وضعیت بارگذاری، اعمال شد.(شکل ۱)
۳. بار متمرکز ششصد نیوتون که تحت زاویه ۴۵ درجه



شکل ۲: الگوی توزیع تنش و حداقل مقادیر تنشهای کششی در پروتز تحت اعمال شرط بارگذاری یک (A-FEM1, B-FEM2)



شکل ۳: الگوی توزیع و حداقل مقادیر تنشهای اصلی کششی در سطح تماس ماده پروتز و دندانهای پایه تحت اعمال شرط بارگذاری یک (A-FEM1, B-FEM2)

کانکتور گسترش یافت. در مدل FEM1 حداکثر مقدار تنفس اصلی  $+104$  مگاپاسکال بود که در سمت باکال کانکتور رخداد در حالی در مدل FEM2 این حداکثر مقدار تنفس در هر دو سمت باکال و لینگوال کانکتور تقریباً مساوی و معادل  $+106$  مگاپاسکال بدست آمد. در کانتورهای تنفس اصلی بدست آمده از موارد دو و سه بارگذاری، برخلاف مورد يك وجود چنین گسترشی از ناحیه پرتنش کششی مشاهده نگردید و به جای آن يك ناحیه پرتنش کششی در ناحیه جینجیوال - لینگوال کانکتور ایجاد گردید. از سوی دیگر، اختلاف چشمگیری در مقادیر و الگوی تنفس اصلی در سطح تماس ماده پروتزر و دندانهای پایه تحت هریک از شرایط بارگذاری موارد (۱-۳) بین مدل‌های FEM1 و FEM2 مشاهده نگردید. اگر چه تحت شرایط بارگذاری موردن ۳ مقادیر تنشهای اصلی و برشی در سطح تماس به نحو قابل توجهی افزایش یافت. حداکثر مقادیر تنشهای اصلی در موارد فوق در جدول ۳ ارائه شده است.

جدول ۳: حداکثر تنشهای اصلی در کانکتور سمت پرمولر دوم و سطح تماس پروتزر و دندان تحت اعمال شرایط بارگذاری دو و سه در مدل‌های FEM2 و FEM1

مقادیر حداکثر تنشهای کششی در پروتزر (MPa)		مقادیر حداکثر تنشهای کششی در سطح تماس (MPa)		FEM
نیروی موردن دو	نیروی موردن سه	نیروی موردن دو	نیروی موردن سه	
۸۱/۹	۹۹/۸	۳۴/۰	۹۶/۸	FEM1
۸۶/۲	۱۰۲/۰	۲۹/۳	۹۳/۸	FEM2

۷۶/۸ مگاپاسکال بود که کمتر از مقادیر بدست آمده  $82$  مگاپاسکال و  $86/۲$  مگاپاسکال در بریج‌های با ماده IPS-Empress2 می‌باشد. در کانتورهای تنشهای اصلی در سطح تماس ماده پروتزر و دندان نیز وضعیت مشابه وجود داشت، ضمن آنکه پیدایش ناحیه نسبتاً پرتنش از نوع کششی با حداکثر مقدار  $25/۱$  مگاپاسکال در بریج با ماده IPS-Empress2 Dicor در مقایسه با بریج با ماده IPS-Empress2 مشاهده شد. کانتورهای تنفس برشی نیز نشان دادند که مقادیر

### یافته‌ها

نحوه توزیع تنفس اصلی، صرف نظر از شرایط بارگذاری و مواد پروتزر در هر دو مدل FEM1 و FEM2 مشابه یکدیگر بدست آمد. به این ترتیب که در نواحی نزدیک به سطح جینجیوال پونتیک و زیر تار خنثی عمدها تنشهای کششی و در نواحی نزدیک به سطح اکلوزال و بالای تار خنثی تنشهای فشاری ایجاد گردید. حداکثر تنشهای اصلی در سطح جینجیوال کانکتور سمت ریتینر دندان پایه پرمولر دوم و حداکثر تنشهای اصلی در سطح تماس ماده پروتزر و دندان پایه بر روی سطوح مارجینال و در سمت ریتینر دندان پایه مولر دوم رخ داد. اگرچه تحت اعمال شرایط بارگذاری و مواد مختلف مورد استفاده برای ماده پروتزر در این مطالعه، اختلافات قابل توجهی در کانتورهای تنفس مشاهده گردید (شکل ۲ و ۳). برای بارگذاری موردن ۱، ناحیه پرتنش کششی از سمت باکال به سمت لینگوال

جدول ۳: حداکثر تنشهای اصلی در کانکتور سمت پرمولر دوم و سطح تماس پروتزر و دندان تحت اعمال شرایط بارگذاری دو و سه در مدل‌های FEM2 و FEM1

کانتورهای تنشهای اصلی در پروتزر و سطح تماس برای مواد پروتزر2 IPS-Empress2 و Dicor و تحت اعمال شرایط بارگذاری موردن ۲ مطابق شکل ۴ می‌باشند. در بریج‌های با ماده سرامیکی Dicor الگوهای تنفس با شدت‌کمتری در مقایسه با بریج‌های با ماده سرامیکی IPS-Empress2 مشاهده شد. مقادیر حداکثر تنشهای اصلی در کانکتور در مدل‌های FEM1 و FEM2 در بریج‌های Dicor به ترتیب معادل  $75/۳$  مگاپاسکال و

شرایط بارگذاری نقش مهمی در نتایج حاصل از این مدل‌ها ایفا کرده و اطلاعات دقیق‌تر در این زمینه می‌تواند به تخمینهای مناسب‌تری منجر گردد.

حداکثر مقادیر تنشهای کشنی برای بریج ساخته شده از ماده<sup>۲</sup> IPS-Empress در مقایسه با بریج Dicor بیشتر Dicor بود. به نظر می‌رسد که مزیت اصلی ماده سرامیکی Dicor مدول الاستیستیه کمتر آن می‌باشد (جدول ۲) که موجب انتقال بهتر تنش در کمپلکس پروتزر/دندان پایه از طریق دو ماده با خواص انعطاف‌پذیری بهتر می‌گردد. با وجود این، بهمنظور ارزیابی توان شکست بریج سه واحدی تمام سرامیک ساخته شده از دو ماده فوق، تحت شرایط بارگذاری تک سیکل، حداکثر تنشهای بدست آمده<sup>۱</sup> (MGS) با تنش فلکسرا (یا مدول گسیختگی)<sup>۲</sup> که از انجام آزمایشات بر روی مواد پروتزر بدست می‌آید مقایسه می‌شود. همان‌گونه که از جدول ۴ مشاهده می‌شود نسبت MGS/MOR همواره در بریج‌های ساخته شده از ماده IPS-Empress<sup>۲</sup> در مقایسه با بریج‌های ساخته شده از ماده Dicor کوچکتر است این امر نشان دهنده دارا بودن ضریب اطمینان بالاتر بریج‌های ساخته شده از ماده IPS-Empress<sup>2</sup> می‌باشد.

جدول ۴: نسبت MGS/MOR در پروتزر تحت اعمال شرایط بارگذاری مورد دو در مدل‌های FEM1 و FEM2

MGS/MOR	ماده	FEM	مدل
۸۱/۳:۳۹۹=٪۲۲/۱	IE2	FEM1	
۸۶/۲:۳۳۹=٪۲۵/۴	IE2	FEM2	
۷۵/۱۵۲:۳=٪۴۹/۵	Dicor	FEM1	
۹۹/۸۸:۱۵۲=٪۶۵/۷	Dicor	FEM2	

به عنوان یک قانون کلی، تنش حد تحميل برای بارگذاری خستگی به طور تخمینی ۴۰٪ استحکام نهایی ماده در نظر گرفته می‌شود.<sup>(۶)</sup> همان‌گونه که در جدول ۴ مشاهده

1. Maximal Generated Stress.

2. Modulii Of Rupture.

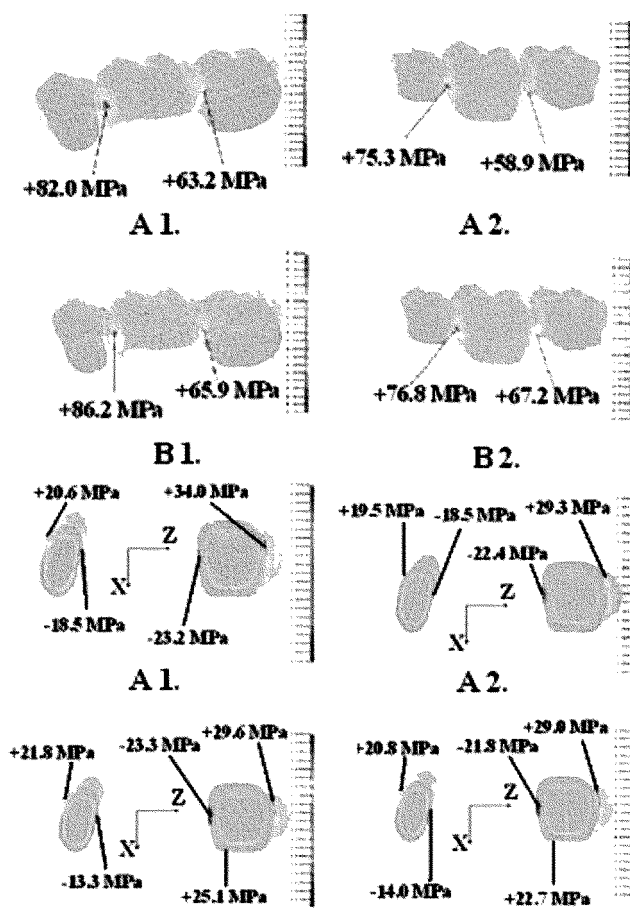
تنشهای برشی در شرایط عمومی بارگذاری (مورد ۲) نسبتاً پایین بوده و حداقل از ۱۳/۸ مگاپاسکال تجاوز نمی‌کند.

## بحث

در این مطالعه مشاهده شد که چگونه استحکام شکست یک بریج سه واحدی تحت تأثیر زوایای تقارب دندانهای پایه قرار گرفته است. توزیع تنشهای اصلی فشاری و کشنی در بریج با الگوی توزیع تنش در یک تیر ساده، که معرف مدل بیومکانیکی برای یک بریج است مطابقت دارد. این نتیجه می‌تواند به عنوان تأییدیه کیفی برای اعتبار بخشیدن به مدل‌های اجزای محدودی که در این مطالعه استفاده شده است مطرح گردد. نتایج کمی بدست آمده از این مطالعه نیز از انطباق مناسب با مطالعات تجربی و عددی قبلی انجام شده در این زمینه برخوردار می‌باشند. به این ترتیب حداکثر مقدار تنش اصلی در بریج ۸۱ برای مدل‌های FEM1 و FEM2 به ترتیب ۸۸ مگاپاسکال و ۲۰۰۳ توسط Fischer متناظر با آن در تحقیقی که در سال ۲۰۰۳ می‌باشد. به این ترتیب حداکثر مقدار تنش اصلی در پروتزر با ۸۵ مگاپاسکال بدست آمد که به مقدار Fischer و همکاران تحت شرایط مشابه ارائه شده و معادل ۸۵ مگاپاسکال بود نزدیک است.<sup>(۱)</sup> ضمناً حداکثر تنش اصلی در پروتزر در موقعیت یکسانی ایجاد گردید. اگرچه وجود اختلاف ده درصدی بین مقادیر حداکثر تنشهای اصلی کشنی در مدل‌های FEM1 و FEM2 ممکن است به این نتیجه رهنمون گردد که زوایای تقارب دندانهای پایه نمی‌تواند به عنوان پارامتر تأثیرگذار در استحکام شکست یک بریج سه واحدی تمام سرامیک مدنظر قرار گیرد. مقادیر حداکثر تنشهای کشنی در بارگذاری مورد سه (بار) متتمرکز ششصد نیوتون تحت زاویه ۴۵ درجه در مقایسه با سایر موارد بارگذاری به نحو چشمگیری افزایش نشان داد و این نتیجه حاکی از آن است که اطلاعات مربوط به

آنالیزهای انجام شده، مقادیر حداکثر تنشهای بدست آمده (MGS) نیز تا ده برابر بزرگتر می‌شوند و بنابراین هیچ یک از بریج‌های مندرج در جدول ۴ در چنین شرایطی دارای کاربرد کلینیکی موفقیت آمیزی نخواهند بود. این نتایج نشان می‌دهند که متخصصان پروتز قبل از به کارگیری درمان بریج سه واحدی تمام سرامیک برای جایگزینی دندان مولر اول مندیبل نباید شرایط بیمار را با دقت مورد توجه قرار دهند.

می‌گردد تنها نسبتهاي MGS/MOR برای بریج‌های ساخته شده از ماده سرامیکی IPS-Empress2 کوچکتر از ۴۰٪ می‌باشند. بنابراین این‌گونه بریج‌ها تحت شرایط بارگذاری نوسانی در شرایط کلینیکی می‌توانند به نحو موفقیت آمیزی برای جایگزینی دندان مولر اول مندیبل مورد استفاده قرار گیرند. اگرچه، در مورد بیمارانی که دارای حرکات فکی پارانرمال بوده و نیروهای وارد بر دندانهای این افراد تا ده برابر افزایش می‌یابد، با توجه به خطی بودن



شکل ۴: الگوی توزیع و مقادیر حداکثر تنشهای اصلی کششی در پروتز و در سطح تماس پروتز و دندانهای پایه تحت اعمال شرط بارگذاری مورده دو

(A1-FEM 1, IPS-Empress2, A2 FEM 1, Dicor, B1-FEM 2, IPS-Empress2, B2-FEM 2, Dicor  
A3-FEM 1, IPS-Empress2, A4-FEM 1, Dicor, B3-FEM 2, IPS-Empress2, B4-FEM 2, Dicor)

### نتیجه‌گیری

نتایج بدست آمده از این مطالعه را می‌توان مطابق زیر برشمود.

۱. مدل‌های دقیق کامپیوتربی دندانهای مندیبل پرمولر دوم، مولر اول و مولر دوم و همچنین یک مدل پارامتری از بریج سه واحدی ساخته شد.

۲. نحوه توزیع تنشها در پروتز و سطوح تماس دندانهای پایه تحت شرایط مختلف بارگذاری و استفاده از دو ماده پروتز تعیین گردید.

۳. اثر تنشهای برشی در سطح تماس ماده پروتز و دندان و در صفحه مماسی به دلیل مقادیر کم آنها قابل صرفنظر می‌باشد.

۴. زوایای تقارب دندانهای پایه ممکن دارای تأثیرات شگرفی بر استحکام شکست بریج سه واحدی تمام سرامیک نباشند.

۵. مقادیر و نحوه اعمال بار، عوامل تأثیرگذاری بر

### تشکر و سپاس

۱. بدین وسیله از زحمات دکتر شجاع الدین شایق که از مشاوره و راهنمایی ایشان در زمینه علم پروتز در تدوین این مقاله بهره جستم تقدير و تشکر می‌نمایم.  
همچنین از مهندس فربد وکیلی مدیرعامل محترم شرکت فدک صنعت‌گستر به سبب همکاری مؤثران تشکر می‌نمایم.

### REFERENCES

1. Fischer H., Weber M, Marx R. Lifetime Prediction of all-ceramic bridges by computational methods. *J Dent Res* 2003; 82, 3: 238-242.
2. Chitmongkolsuk S, Heydecke G, Stappert C, Strub J R. Fracture strength of all-ceramic lithium disilicate and Porcelin-Fused-to-metal bridges for molar replacement after dynamic loading. *Eur J Prosthodont Res Dent* 2002; 10: 15-22.
3. Augeraeu D, Pierrisnard L, Barquins M. Relevance of the finite element method to optimize fixed partial denture design, Part: Influence of the size of the connector on the magnitude of strain. *Clin. Oral Investing* 1998; 2, 1: 36-39.
4. Ash Jr. M M, Nelson SJ, Wheeler's dental anatomy, physiology & occlusion, 7th ed. [S.L]: W.B. Saunders; 1993.
5. Sorensen J. A, Cruz M, Mito WT. Research evaluations of a lithium disilicate restorative system, 1st. ed. IPS Empress(R) 2, 1998.

6. Won-Suck OH, Anusavice KJ. Effect of connector design on the fracture resistance of all-ceramic Fixed partial dentures. *J prosthet Dent* 2002; 87: 536-92.
7. Hojjatie B, Anusavice KJ. Three-dimensional finite element analysis of glass-ceramic dental crowns. *J Biomechanics* 1990; 23, 11: 1157-1166.
8. Magne P, Perakis N, Belser UC, Krejci I. Stress distribution of inlay-anchored adhesive fixed partial dentures: A finite element analysis of the influence of restorative materials and abutment preparation design. *J Prosthet Dent* 2002; 87: 516-527.
9. Kamposiora P, Papavasiliou S, Bayne SC, Felton DA. Stress concentration in all-ceramic posterior fixed partial dentures. *Quint Int* 1996; 27: 701-706.